

مقایسه تبخیر تعرق روزانه با مجموع ساعتی در ایستگاه هواشناسی مرتع کرمان

بهرام بختیاری^{۱*} - علی خلیلی^۲ - عبدالمحیج لیاقت^۳ - محمد جواد خانجانی^۴

تاریخ دریافت: ۸۷/۲/۲۹

تاریخ پذیرش: ۸۷/۵/۱۹

چکیده

در سال‌های اخیر ایستگاه‌های هواشناسی خودکار جهت ثبت داده‌های هواشناسی در مقیاس‌های زمانی مختلف مورد استفاده قرار گرفته‌اند، لذا با در دست داشتن اطلاعات هواشناسی در بازه زمانی کوتاه، می‌توان دقت برآورد معادلات تربکیی تبخیر تعرق مرتع (ET₀) را مورد ارزیابی قرار داد. از آنجایی که تبخیر تعرق در مقطع زمانی روزانه، انتگرالی از تبخیر تعرق زمان‌های کوتاه تلقی می‌شود، هدف از این مطالعه، بررسی میزان اختلاف بین ET₀ برآورده شده در دو حالت روزانه (۲۴ ساعته) و مجموع ساعتی است. بدین منظور از ۷۲۷۰ داده ساعتی ایستگاه مرتع هواشناسی خودکار مستقر در مزرعه دانشگاه شهید باهنر کرمان در سال ۱۳۸۴ استفاده گردید. روش‌های به کار گرفته شده محاسبه ET₀ مرتع چمن شامل دو مدل پنمن-مونتیث فائو-۵۶ و پنمن-مونتیث استاندارد ASCE در دو بازه زمانی ساعتی و روزانه (۲۴ ساعته) می‌باشد. جهت مقایسه مقادیر ET₀ محاسبه شده به دو روش روزانه (۲۴ ساعتی) و مجموع ساعتی، در هر یک از ماه‌ها، از آزمون t استیوونست استفاده گردیده است. نتایج آزمون نشان داده است که اختلاف میانگین دو روش در هر دو مدل تربکیی مورد استفاده در سطح ۵ درصد معنی دار بوده، بطوریکه در مدل فائو-۵۶، ET₀ محاسبه شده به روش مجموع ساعتی در ماه‌های مختلف بین ۵/۸ تا ۴۴/۶ درصد بیش برآورد در روش ASCE در ماه‌های مختلف بین ۷/۶ تا ۴۷/۶ درصد محاسبه گردیده است. ضرایب رگرسیون حاصل از معادلات همبستگی به دو روش (مجموع ساعتی و روزانه) در هر یک از مدل‌های تربکیی، معنی دار بوده است.

واژه‌های کلیدی:

تبخیر تعرق مرتع، بازه ساعتی، پنمن-مونتیث - فائو ۵۶، پنمن-مونتیث ASCE

مقدمه

بر متر و ضریب بازتاب تابش ۰/۲۳، به عنوان گیاه مرتع محسوب می‌شود (۱). تبخیر تعرق مرتع به طور مستقیم توسط لایسیمتر یا به صورت غیر مستقیم با استفاده از داده‌های هواشناسی و اقلیمی محاسبه می‌گردد. روش‌های بسیاری مبتنی بر داده‌های هواشناسی برای شرایط مختلف اقلیمی، جهت محاسبه ET₀ تدوین شده است. این روش‌ها شامل معادلات پیچیده تربکیی و یا معادلات ساده تر نظری بلانی کریدل، و هارگریوز سامانی که به داده‌های کمتری نیاز دارند، می‌باشد (۹). در گروه معادلات تربکیی پنمن، از دو جزء آنرودینامیکی و توازن انرژی استفاده شده است. معادله پنمن بعد از توسط سازمان خوار و بار جهانی (FAO^۳) اصلاح و به پنمن فائو-۲۴ معروف گردید (۵). مونتیث (۱۹۶۳) اثر مقاومت گیاه در مسیر انتقال بخار آب از حفره روزنه به سطح برگ را در معادله پنمن لحاظ نمود و معادله‌ای موسوم به پنمن-مونتیث ارائه نمود (۱). در سال‌های اخیر معادله پنمن-مونتیث مورد بررسی و بازنگری قرار گرفته که مهمترین

تبخیر تعرق یکی از مهمترین مولفه‌های چرخه آب در طبیعت بوده و تعیین دقیق آن برای مطالعات بیلان آبی، آبیاری و مدیریت منابع آب ضروری است. تبخیر تعرق واقعی از سطح پوشش گیاهی، با استفاده از حاصل ضرب تبخیر تعرق گیاه مرتع (ET₀) در ضریب گیاهی به دست می‌آید. در یک تعریف کلی، گیاه چمن به صورت یک سطح پوشیده به ارتفاع ۱۲ سانتی متر، مقاومت سطحی ثابت ۷۰ ثانیه

۱- دانشجوی دکتری هواشناسی کشاورزی، دانشگاه تهران

(*)- نویسنده مسئول: Email:Drba777@yahoo.com

۲- استاد دانشگاه تهران، پردیس کشاورزی و منابع طبیعی، دانشکده مهندسی آب و

خاک، گروه مهندسی آبیاری و آبادانی

۳- دانشیار دانشگاه تهران، پردیس کشاورزی و منابع طبیعی، دانشکده مهندسی آب و

خاک، گروه مهندسی آبیاری و آبادانی

۴- استاد دانشگاه شهید باهنر کرمان، دانشکده فنی و مهندسی، بخش مهندسی عمران

2- Reference evapotranspiration

مواد و روش‌ها

ایستگاه مورد مطالعه در مزرعه دانشگاه شهید باهنر کرمان با عرض جغرافیایی ۳۰ درجه و ۱۵ دقیقه شمالی و طول جغرافیایی ۵۶ درجه و ۵۸ دقیقه شرقی و متوسط ارتفاع ۱۷۵۳/۸ متر از سطح دریا مستقر شده و اطراف سایت را زمین‌های کشاورزی و تحت آبیاری در بر گرفته است. در تقسیم بندی اقلیمی دومارت، نوع اقلیم نیمه خشک و میانگین بارندگی سالانه منطقه بر اساس آمار ۳۵ ساله (۹۷۰-۲۰۰۵) ایستگاه سینوپتیک کرمان، ۱۵۴/۱ میلیمتر به دست آمده است. بر این اساس میانگین دمای هوا در منطقه ۱۷/۱ درجه سانتیگراد، متوسط دما در سردترین ماه برابر ۴/۶ و متوسط دما در گرمترین ماه سال ۳۴/۷ بوده است. همچنین میانگین سالانه رطوبت نسبی در منطقه ۳۲ درصد است. میانگین سالانه سرعت باد در ارتفاع ۲ متری، ۲/۳ متر بر ثانیه محاسبه گردیده است. جهت ایجاد شرایط مرجع در سایت مطالعاتی، در سطح ایستگاه به مساحت ۲۰×۲۰ متر، گیاه چمن کشت و آبیاری آن بصورت پاششی و توسط شیلنگ انجام گرفت. حسگرهای مورد استفاده در ایستگاه هواشناسی خودکار عبارتند از: حسگر دمای هوا در ارتفاع ۲ متری، حسگر رطوبت نسبی در ارتفاع دو متری و حسگراندازه‌گیری سمت و سرعت باد در ارتفاع دو متری. تمامی حسگرهای فوق الذکر به یک دستگاه دیتالاگر زیمنس مدل SIWAREX U اتصال یافته‌اند. لذا امکان ثبت متغیرهای هواشناسی شامل دمای هوا، رطوبت نسبی و سمت و سرعت باد در بازه زمانی کوتاه مدت، فراهم شده است. سیستم نرم افزاری اکسل به گونه‌ای برنامه‌ریزی شده که داده‌های هواشناسی در بازه زمانی یک ساعته، داخل دیسک سخت رایانه موجود در اتاق کنترل نگهداری می‌شوند. جهت پردازش داده‌های ساعتی موجود در دیتالاگر، برنامه‌ای در محیط اکسل تهیه و داده‌های مربوط به هر ماه در فایل‌های جداگانه‌ای ذخیره شده‌اند. لازم به ذکر است که به دلیل فقدان حسگر تشعشع در ایستگاه مطالعاتی، از داده‌های ساعتی تشушع ثبت شده توسط تشبع سنج مدل لامبرخت در ایستگاه سینوپتیک فرودگاه کرمان (واقع در ۱۰ کیلومتری ایستگاه دانشگاه)، استفاده شده است. در این تحقیق دوره آماربرداری منطقه بر ماه‌های فروردین لغایت اسفند سال ۱۳۸۴ بوده که پس از حذف نقاط پرت، تعداد ۲۷۰ داده ساعتی مربوط به متغیرهای هواشناسی به دست آمده است. دو مدل ترکیبی جهت محاسبه ET_0 در گام‌های زمانی ساعتی و روزانه مورد استفاده قرار گرفته‌اند. این معادلات عبارتند از:

$$\text{معادله پیمن-مونتیث فائق-۵۶}$$

شکل کلی معادله پیمن-مونتیث فائق-۵۶ جهت محاسبه ET_0 در گام‌های زمانی روزانه و ساعتی به صورت زیر است (۱):

آنها اصلاح شده توسط فائق و اصلاح شده توسط انجمن مهندسین عمران آمریکا (ASCE^۱) می‌باشد (۳). این روش به دلیل دارا بودن مبانی تئوری و سارگاری با بازه‌های زمانی کوتاه توسط محققین توصیه شده است (۵ و ۴ و ۳ و ۱). در دهه اخیر نیز تحقیقات متعددی جهت ارزیابی معادلات ترکیبی ET_0 در بازه کوتاه مدت ساعتی بر اساس اندازه گیریهای لایسیمتری به انجام رسیده است (۱۱ و ۱۰ و ۴ و ۲). در حقیقت تفاوت دو مدل پیمن-مونتیث- فائق-۵۶ و پیمن- مونتیث ASCE، در مقدار مقاومت سطحی می‌باشد، به گونه‌ایکه در مدل فائق-۵۶ برای هر دو بازه زمانی ساعتی و روزانه، این مقدار معادل ۷۰ ثانیه بر متر لحاظ می‌گردد در حالیکه در مدل استاندارد ASCE برای گیاه مرجع چمن، در طول روز برابر ۵۰ و در بازه شب معادل ۲۰۰ ثانیه بر متر در نظر گرفته می‌شود (۲). ASCE-EWRI (۳) با در نظر گرفتن معادله پیمن-مونتیث در دو بازه زمانی ساعتی و روزانه و لحاظ نمودن مقاومت سطحی ۷۰ ثانیه بر متر در معادله روزانه و مقادیر ۵۰ و ۲۰۰ ثانیه بر متر به ترتیب برای مقاومت سطحی در طول بازه‌های روز و شب در معادله ساعتی، مجموع داده‌های ساعتی ET_0 را با داده‌های روزانه در طی فصل رشد در ۴۹ ایستگاه ایالات متحده با اقلیم‌های متفاوت مقایسه نموده است (۸). نتایج این محققان نشان داد که با در نظر گرفتن مقاومت‌های سطحی مختلف برای طول دوره شب و روز و جمع مقادیر ساعتی، ET_0 حاصله تطابق خوبی با ET_0 محاسبه شده توسط معادله روزانه (با لحاظ نمودن مقاومت سطحی ۷۰ ثانیه بر متر) در تمامی مناطق مطالعاتی دارد. ایرماک و همکاران (۷) با مطالعه بر روی هفت ایستگاه هواشناسی مرجع با اقلیم‌های متفاوت، ET_0 حاصله از مجموع داده‌های ساعتی را با ET_0 روزانه محاسبه شده از روش پیمن-مونتیث استاندارد ASCE روزانه مقایسه نمودند. نتایج نشان داد که در شش ایستگاه، ET_0 روزانه محاسبه شده نسبت به مجموع مقادیر ساعتی، وضعیت بیش برآورد داشته و در اقلیم‌های مرطوب، ET_0 حاصل از این دو حالت، تطابق بهتری نسبت به اقلیم‌های گرم و خشک داشته‌اند. با بررسی مطالعات انجام یافته در ایران مشخص گردید که تا کنون تحقیقی در زمینه مقایسه تبخیر تعرق مرجع ساعتی و روزانه صورت نگرفته است. هدف از این مطالعه، بررسی میزان اختلاف بین ET_0 برآورده شده در دو حالت روزانه (۲۴ ساعته) و مجموع ساعتی توسط دو مدل پیمن-مونتیث فائق-۵۶ و پیمن-مونتیث ASCE، با استفاده از داده‌های کوتاه مدت ایستگاه هواشناسی خودکار مستقر در یک ایستگاه مرجع در اقلیم نیمه خشک کرمان می‌باشد.

1- American Society of Civil Engineers

حرارتی در سطح خاک ($MJ.m^{-2}.d^{-1}$) برای گام زمانی روزانه و $MJ.m^{-2}.hr^{-1}$ برای گام زمانی ساعتی، T میانگین دمای روزانه یا ساعتی هوا در ارتفاع $1/5$ تا 2 متری از سطح زمین ($^{\circ}C$)، میانگین روزانه یا ساعتی سرعت باد در ارتفاع $1/5$ تا 2 متری ($m.s^{-1}$)، e_s میانگین فشار بخار اشباع در ارتفاع $1/5$ تا 2 متری (kPa) که برای گام زمانی روزانه، متوسط آن در دمای حداقل و حداچل هوا محاسبه می شود، میانگین فشار بخار اشباع در ارتفاع $1/5$ تا 2 متری (kPa)، Δ شیب منحنی فشار بخار اشباع در دمای هوا ($kPa.^{\circ}C^{-1}$)، γ ثابت سایکرومتری (C_n)، R_n ثابت صورت و C_d ثابت مخرج کسرکه مقدار آنها تابعی از نوع گیاه مرجع و بازه زمانی اندازه گیری می باشد. مقدار C_n برای بازه زمانی روزانه یا ماهانه برابر 900 و برای بازه زمانی ساعتی در طول روز و شب 37 است. همچنین مقدار C_d در بازه زمانی روزانه یا ماهانه برابر $0/34$ و در بازه زمانی ساعتی در طی روز $0/24$ و در طی شب $0/96$ در نظر گرفته می شود. از طرف دیگر چگالی شار حرارتی در بازه زمانی روزانه بسیار کوچک و برابر صفر در نظر گرفته شده، اما در بازه زمانی ساعتی در طی روز و شب، مقدار مطابق معادلات 6 و 7 محاسبه می گردد (۳).

$$\text{هنگامی که } R_n > 0 \text{ یا روز هنگام:}$$

$$G = 0.1R_n \quad (6)$$

$$\text{هنگامی که } R_n \leq 0 \text{ یا شب هنگام:}$$

$$G = 0.5R_n \quad (7)$$

نتایج و بحث

در این مطالعه با توجه به تفاوت دو مدل پنمن-مونتیث فائو-۵۶ و پنمن-مونتیث ASCE از نظر برآورد مقاومت سطحی، این دو مدل در دو بازه زمانی ساعتی و روزانه مورد مقایسه قرار گرفته اند. نظر به اینکه تبخیر تعرق در مقطع زمانی استاندارد، انتگرالی از تبخیر تعرق زمانهای کوتاه تلقی می شود، لذا در این بررسی ابتدا ET_o ساعتی (توسط هر یک از دو مدل محاسبه و جمع این مقادیر $ET_{o-H}(t)$) حاصل از مدل های روزانه در هر ماه مقایسه گردیده است. جهت آزمون معنی داری اختلاف میانگین دو روش از آزمون t جفت شده، استفاده شده است. در این حالت فرضیه H_0 نمایانگر برابر بودن میانگین دو روش و فرضیه مقابل (H_1) بیانگر وجود اختلاف بین میانگین ها است. همانگونه که در شکل های 1 -الف و 1 -ب نشان داده شده است، مقدار تبخیر تعرق

1- Paired t -test

$$ET_o = \frac{0.408\Delta(R_n - G) + \gamma \frac{900}{T + 273} U_2(e_s - e_a)}{\Delta + \gamma(1 + 0.34U_2)} \quad (1)$$

$$ET_o = \frac{0.408\Delta(R_n - G) + \gamma \frac{37}{T + 273} U_2(e_s - e_a)}{\Delta + \gamma(1 + 0.34U_2)} \quad (2)$$

که در آن ET_o تبخیر تعرق مرجع ($mm.d^{-1}$) یا $(mm.hr^{-1})$ ، Δ شیب منحنی فشار بخار اشباع در دمای هوا ($R_n kPa.^{\circ}C^{-1}$)، $MJ.m^{-2}.hr^{-1}$ یا $MJ.m^{-2}.d^{-1}$ میزان تابش خالص در سطح چمن ($G MJ.m^{-2}.d^{-1}$) چگالی شار حرارتی ($MJ.m^{-2}.hr^{-1}$) یا $MJ.m^{-2}.d^{-1}$ مطابق معادلات 6 و 7 ، میانگین دمای روزانه یا ساعتی هوا در ارتفاع $1/5$ تا 2 متری از سطح زمین ($^{\circ}C$)، میانگین روزانه یا ساعتی سرعت باد در ارتفاع 2 متری ($m.s^{-1}$)، e_s میانگین فشار بخار اشباع در ارتفاع $1/5$ تا 2 متری (kPa)، Δ شیب منحنی فشار بخار اشباع در دمای هوا ($kPa.^{\circ}C^{-1}$) و γ ثابت سایکرومتری (C_n) است.

جهت برآورد فشار بخار اشباع در گام زمانی روزانه، متوسط آن در دمای حداقل و حداچل هوا محاسبه می شود. فشار بخار واقعی هوا (e_a) جهت برآورد ساعتی ET ، بصورت زیر تعیین می شود.

$$e_a = e_s \frac{RH_{hr}}{100} \quad (3)$$

که در آن RH_{hr} متوسط ساعتی رطوبت نسبی بر حسب درصد بوده و فشار بخار اشباع در درجه حرارت ساعتی T_{hr} عبارت است از:

$$e_s = 0.6108 \exp \left[\frac{17.27T_{hr}}{T_{hr} + 237.3} \right] \quad (4)$$

که در آن e_s فشار بخار اشباع در دمای T_{hr} بر حسب است.

معادله پنمن-مونتیث استاندارد ASCE

معادله استاندارد ارائه شده توسط انجمن مهندسین عمران آمریکا (ASCE) به منظور محاسبه تبخیر تعرق مرجع چمن در بازه زمانی ساعتی و روزانه به صورت زیر است (۱۲ و ۳ و تماسکن و همکاران $: ۲۰۰۵$):

$$ET_o = \frac{0.408\Delta(R_n - G) + \gamma \frac{C_n}{T + 273} U_2(e_s - e_a)}{\Delta + \gamma(1 + C_d U_2)} \quad (5)$$

که در آن ET_o تبخیر تعرق مرجع چمن ($mm.d^{-1}$) برای گام زمانی روزانه و $mm.hr^{-1}$ برای گام زمانی ساعتی، R_n میزان تابش خالص در سطح چمن ($MJ.m^{-2}.d^{-1}$) برای گام زمانی روزانه و $MJ.m^{-2}.hr^{-1}$ برای گام زمانی ساعتی، G چگالی شار

دارای مقادیر بیش برآورده بوده، بطوریکه درصد فرابرآورده در ماههای فروردین لغایت اسفند به ترتیب $17/5$ ، $11/7$ ، $7/4$ ، $9/6$ ، $14/0$ ، $10/1$ ، $4/9$ ، $6/3$ ، $29/3$ ، $29/2$ ، $42/5$ ، $73/9$ ، $47/6$ ، $28/9$ به دست آمده است. میانگین درصد بیش برآورده روش مجموع ساعتی نسبت به روش روزانه در فصول گرم سال (فروردین تا شهریور) برابر $11/7$ و در دوره سرد سال (مهر تا اسفند) برابر $47/5$ می‌باشد که نسبت به روش پنمن-مونتیث فائقو-۵۶ درصد بالاتری را در هر دو دوره به خود اختصاص داده است. نمودارهای ۳-الف و ۳-ب، بهترین خط برآش داده شده بر مقادیر ET_{0-D} و ET_{0-H} و پراکنش داده‌ها را نسبت به خط نیمساز در روش پنمن-مونتیث ASCE به عنوان نمونه نشان می‌دهد. معادلات همبستگی و ضرایب تعیین بدست آمده برای هر ماه به تفکیک در جدول ۲ ارائه شده است. با توجه به جدول مذکور، کمترین ضریب تعیین مربوط به ماههای آذر، دی و بهمن و بیشترین آن مربوط به ماههای تیر و مرداد بوده است. همچنین با توجه به آزمون α اختلاف میانگین‌های ET_{0-D} و ET_{0-H} محاسبه شده با روش پنمن-مونتیث ASCE در سطح ۵ درصد معنی دار است. بر اساس نتایج این مطالعه، نیاز آبی محاسبه شده توسط جمع مقادیر ساعتی (ET_{0-H}) با مقدار محاسبه شده توسط معادله روزانه (۲۴ ساعتی) (ET_{0-D}) دارای اختلاف می‌باشد. نتیجه فوق با نتایج یلدریم و همکاران (۱۳) از نظر وجود اختلاف بین دو روش، تطبیق داشته اما این محققان مقدار تبخیر تعرق حاصل از جمع مقادیر ساعتی را کمتر از مقادیر حاصل از روش روزانه در ماههای می‌تا سپتامبر، به دست آورده‌اند. لازم به ذکر است که این منطقه تحت رژیم بارندگی مدیترانه‌ای قرار دارد. هاول و همکاران (۶) نیز نشان دادند که نیاز آبی گیاه مرجع محاسبه شده توسط روش پنمن-مونتیث با استفاده از داده‌های اقلیمی ساعتی، نتایج مطمئن تری نسبت به داده‌های روزانه به دست می‌دهد. در این حالت استفاده از داده‌های کوتاه مدت ایستگاههای هواشناسی خودکار واقع در منطقه طرح (ایستگاه مرجع) چهت برآورده دقیق نیاز آبی گیاهان توصیه می‌شود.

نتیجه گیری

بر اساس نتایج به دست آمده، در اقلیم‌هایی نظیر شرایط مطالعاتی (۷)، اختلافات مشاهده شده در ET_0 حاصل از دو روش روزانه و مجموع ساعتی را می‌توان به عدم قطبیت در برآورد شار گرمایی خاک (G) و عدم لحاظ نمودن تغییرات ناگهانی کوتاه مدت سرعت باد، دما و کمبود فشار بخار اشباع در روش روزانه نسبت داد. البته ضریب تعیین (R^2) بین ET_0 ساعتی حاصل از دو مدل پنمن-مونتیث ASCE و پنمن-مونتیث فائقو-۵۶ برابر $0/998$ محاسبه گردیده که حاکی از همبستگی بالای این دو روش می‌باشد، اما مقادیر برآورده شده توسط روش ASCE در حدود 3% کمتر از روش

محاسبه شده در طول شب صفر و یا بسیار نزدیک به صفر است. اما از ساعت حدود $6/5$ الی 7 صبح، گرادیان تبخیر تعرق تا حدود ساعت $12/5$ الی 13 افزایش یافته و پس از آن شروع به کاهش می‌یابد. شکل‌های ۴-الف لغایت ۴-ل روند تغییرات ET_{0-D} روزانه و ET_{0-H} حاصل از جمع مقادیر ساعتی توسط روش پنمن-مونتیث ET_{0-H} را در ماههای مورد مطالعه نشان می‌دهد. تغییرات رسم شده بیانگر وجود اختلاف زیاد بین دو روش روزانه و مجموع ساعتی در ماههای مهر تا اسفند می‌باشد. با توجه به این نمودارها، در منطقه مطالعاتی، روند روزانه دو روش در کلیه ماهها از یکدیگر پیروی نموده، اما مقادیر محاسبه شده $ET_{0-H}(t)$ بیشتر از مقادیر ET_{0-D} حاصل از فرمول‌های روزانه بوده است به گونه‌ای که روش مجموع مقادیر ساعتی نسبت به روش روزانه، مقدار ET_0 را به ترتیب به میزان $15/1$ ، $8/5$ ، $7/6$ ، $5/8$ ، $7/8$ ، $27/1$ ، $12/4$ ، $38/9$ و $44/6$ درصد برای ماههای فروردین الی اسفند، بیشتر برآورده است. میانگین بیش برآورده مجموع مقادیر ساعتی برای ماههای فروردین الی شهریور برابر $9/5$ درصد و برای دوره سرد سال شامل ماههای مهر الی اسفند برابر $44/5$ درصد می‌باشد. همبستگی بین دو روش روزانه و مجموع ساعتی با استفاده از مدل پنمن-مونتیث فائقو-۵۶ در شکل‌های ۲-الف و ۲-ب به عنوان نمونه ارائه شده است. با توجه به نتایج به دست آمده، برای دوره شش ماهه اول (فصول بهار و تابستان)، خط رگرسیون برآش داده شده به خط نیمساز نزدیک و برای دوره سرد سال (فصول پاییز و زمستان) از خط نیمساز فاصله گرفته است. ضریب تعیین برای تمامی ماهها به جز آذر، دی، بهمن و اردیبهشت بیش از 92% به دست آمده است. معادلات همبستگی بین دو روش در جدول ۱ ارائه گردیده است. نتایج حاصله در جدول ۱ نشان می‌دهد که مقادیر t استیوونت محاسبه شده به طور معنی داری با t بحرانی اختلاف داشته و در تمامی ماههای مورد مطالعه، سطح معنی داری^۱ در حدود صفر و کوچکتر از $0/05$ بوده که نمایانگر رد فرضیه H_0 با اطمینان 95 درصد می‌باشد. همچنین مقادیر t محاسبه شده در هیچ یک از ماههای در فاصله اطمینان 95 درصد اختلاف قرار نگرفته که دلیل بر رد فرضیه H_0 می‌باشد. در روش استاندارد پنمن-مونتیث ASCE ساعتی، مقدار مقاومت سطحی^۲ (r_s) در طول بازه زمانی روز و شب به ترتیب برابر 50 و 200 ثانیه بر متر پیشنهاد شده است. اما در روش پنمن-مونتیث ASCE روزانه، مقدار r_s برابر 70 ثانیه بر متر در نظر گرفته می‌شود. چگونگی تغییرات ET_{0-H} و ET_{0-D} در روش ASCE در شکل‌های ۵-الف الی ۵-ل نشان داده شده است. نظیر مدل پنمن-مونتیث فائقو-۵۶ در این حالت نیز ET_{0-H} نسبت به ET_{0-D} در تمامی فصویل سال

1- P- value

2- Surface resistance

روش در ماههای سرد سال با توجه به اقلیم بیابانی و نیمه خشک منطقه به علت تغییر پذیری شدیدتر متغیرهای هواشناسی در بازه زمانی ساعتی نسبت به میانگین های شباهنگ روزی می باشد. لذا بکارگیری متغیرهای هواشناسی در بازه زمانی کوتاه مدت جهت برآورد ET_{o-H} در اقلیم های خشک و نیمه خشک که بیشتر تحت تأثیر پدیده فرازفت گرما و تغییرات ناگهانی در متغیرهای اقلیمی می باشند، توصیه می گردد.

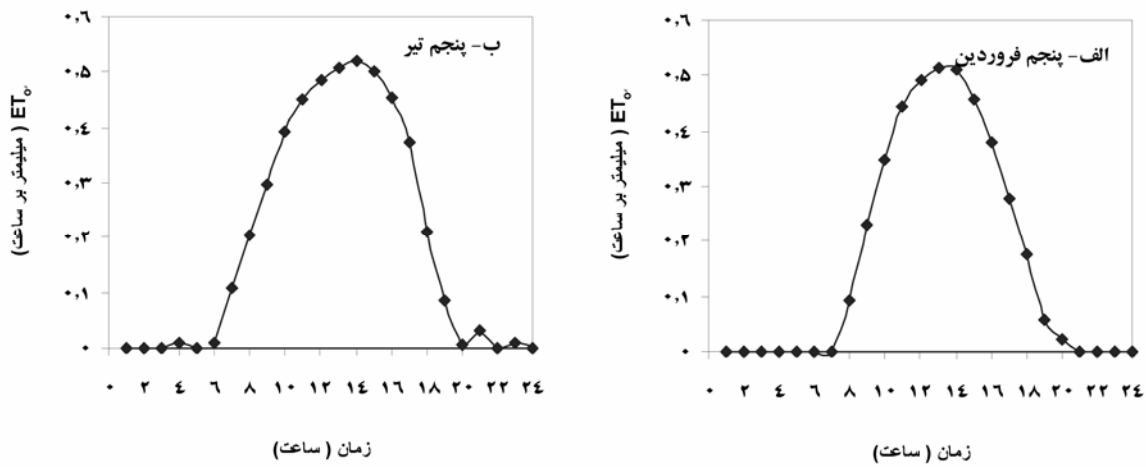
فاو-۵۶ بوده که به دلیل لحاظ نمودن تأثیر بیشتر مقاومت سطحی در طی بازه روز در روش ASCE می باشد. در یک جمع بندی کلی، مقدار ET_{o-H} روزانه محاسبه شده توسط جمع مقادیر ساعتی (ET_{o-D}) در طی فصل رشد حدود ۱۸ تا ۲۶ درصد و در ماههای سرد (مهر الی اسفند) در حدود ۲۷ تا ۳۴ درصد نسبت به ET_{o-D} بیشتر بوده است. آزمون t استیوینت، معنی دار بودن اختلاف دو روش را در سطح اعتماد ۵ درصد نشان داده است. می توان گفت اختلاف بیشتر دو

(جدول ۱)- نتایج آزمون t و معادلات همبستگی جهت مقایسه تبخیر تعرق مرجع محاسبه شده توسط مدل پنمن- مونتیث فاؤ-۶ به دو روش روزانه (ET_{o-H}) و مجموع ساعتی (ET_{o-D}) در منطقه کرمان - سال ۱۳۸۴

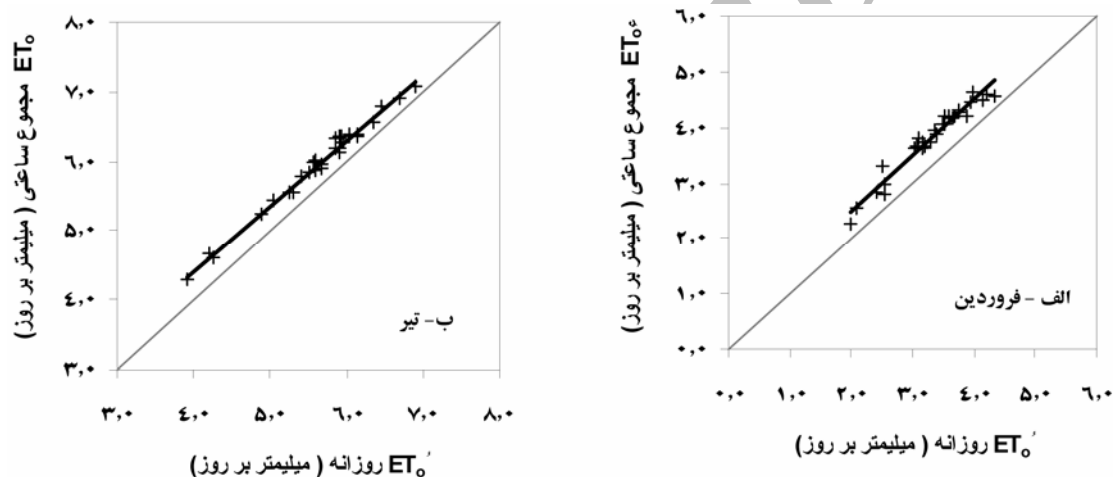
معادله همبستگی	ضریب تعیین (%) (R^2)	آزمون t استیوینت				درجه آزادی (df)	ماهها
		نتیجه آزمون (P value)	حدود اعتماد ۹۵٪ اختلاف حدبلا حد پایین	محاسبه شده t			
$ET_{o-H} = -0.9977 ET_{o-D} + 0.5133$	95/۳۸	.۰/۰۰۰	-۰/۵۵	-۰/۴۶	-۲۱/۳۳	۳۰	فروردین
$ET_{o-H} = 1/0.684 ET_{o-D} + 0.813$	83/۴۹	.۰/۰۰۰	-۰/۴۹	-۰/۳۴	-۱۱/۱۴	۳۰	اردیبهشت
$ET_{o-H} = -1/879 ET_{o-D} + 1/0.842$	92/۰۹	.۰/۰۰۰	-۰/۴۵	-۰/۲۸	-۲۳/۱۴	۳۰	خرداد
$ET_{o-H} = -0.9434 ET_{o-D} + 0/6517$	98/۷۶	.۰/۰۰۰	-۰/۳۶	-۰/۳۰	-۲۲/۶۹	۳۰	تیر
$ET_{o-H} = -0.994 ET_{o-D} + 0/457$	95/۷۹	.۰/۰۰۰	-۰/۴۴	-۰/۳۷	-۲۳/۷۶	۲۷	مرداد
$ET_{o-H} = -1/8542 ET_{o-D} + 1/1599$	93/۱۰	.۰/۰۰۰	-۰/۶۱	-۰/۴۶	-۱۴/۷۷	۱۷	شهریور
$ET_{o-H} = -0.9256 ET_{o-D} + 0/9934$	95/۴۵	.۰/۰۰۰	-۰/۸۲	-۰/۷۳	-۳۷/۷۱	۲۰	مهر
$ET_{o-H} = 1/0.357 ET_{o-D} + 0/6826$	91/۸۶	.۰/۰۰۰	-۰/۸۱	-۰/۶۹	-۲۴/۹۰	۲۶	آبان
$ET_{o-H} = 1/2719 ET_{o-D} + 0/3851$	70/۸۴	.۰/۰۰۰	-۰/۸۰	-۰/۶۲	-۱۶/۴۶	۲۱	آذر
$ET_{o-H} = 1/5764 ET_{o-D} + 0/143$	66/۸۸	.۰/۰۰۰	-۰/۸۴	-۰/۶۷	-۱۸/۴۷	۲۴	دی
$ET_{o-H} = 1/0.158 ET_{o-D} + 0/641$	82/۳۵	.۰/۰۰۰	-۰/۷۶	-۰/۵۹	-۱۷/۷۴	۲۴	بهمن
$ET_{o-H} = 1/1757 ET_{o-D} + 0/1968$	95/۰۲	.۰/۰۰۰	-۰/۶۷	-۰/۵۴	-۱۸/۰۱	۲۷	اسفند

(جدول ۲)- نتایج آزمون t و معادلات همبستگی جهت مقایسه تبخیر تعرق مرجع محاسبه شده توسط مدل پنمن- مونتیث ASCE به دو

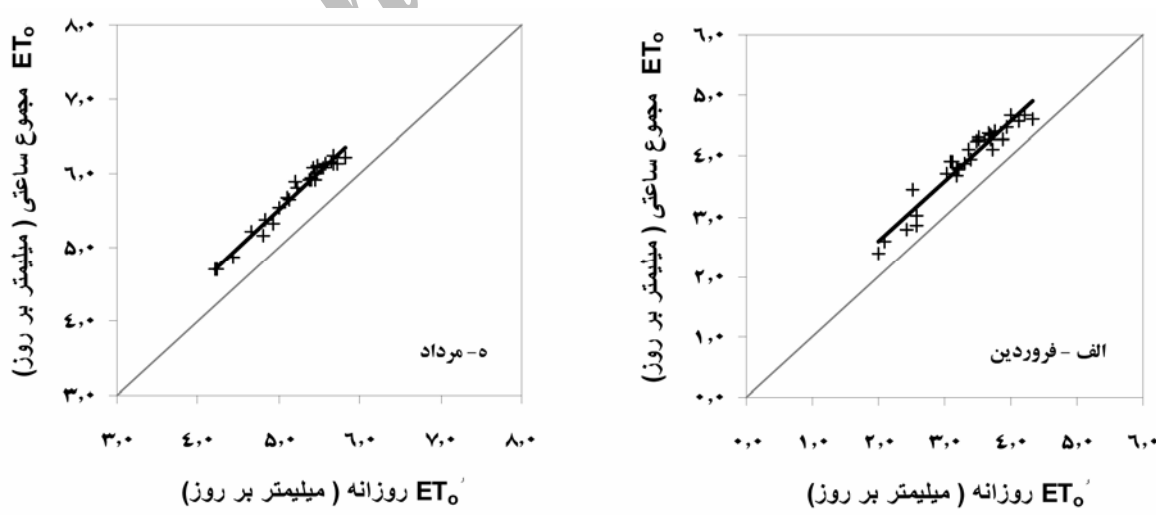
معادله همبستگی	ضریب تعیین (%) (R^2)	آزمون t استیوینت				درجه آزادی (df)	ماهها
		نتیجه آزمون (P value)	حدود اعتماد ۹۵٪ اختلاف حدبلا حد پایین	محاسبه شده t			
$ET_{o-H} = 1/0.158 ET_{o-D} + 0/5384$	93/۰۰	.۰/۰۰۰	-۰/۶۴	-۰/۵۲	-۱۹/۷۲	۳۰	فروردین
$ET_{o-H} = 1/0.566 ET_{o-D} + 0/2982$	90/۰۲	.۰/۰۰۰	-۰/۶۳	-۰/۵۱	-۱۹/۶۷	۳۰	اردیبهشت
$ET_{o-H} = 0/8987 ET_{o-D} + 1/0.781$	91/۸۴	.۰/۰۰۰	-۰/۵۶	-۰/۴۹	-۲۹/۷۹	۳۰	خرداد
$ET_{o-H} = -0.9606 ET_{o-D} + 0/841$	97/۸۰	.۰/۰۰۰	-۰/۴۵	-۰/۳۸	-۲۳/-۰۳	۳۰	تیر
$ET_{o-H} = 1/0.308 ET_{o-D} + 0/3676$	96/۴۴	.۰/۰۰۰	-۰/۵۶	-۰/۴۹	-۳۲/۰۵	۲۷	مرداد
$ET_{o-H} = 0/8875 ET_{o-D} + 1/0.856$	92/۲۵	.۰/۰۰۰	-۰/۶۷	-۰/۵۲	-۱۶/۵۴	۱۷	شهریور
$ET_{o-H} = 0/9369 ET_{o-D} + 1/0.259$	94/۵۷	.۰/۰۰۰	-۰/۸۹	-۰/۷۹	-۳۸/۲۰	۲۰	مهر
$ET_{o-H} = 1/0.952 ET_{o-D} + 0/6375$	92/۵۵	.۰/۰۰۰	-۰/۸۸	-۰/۷۵	-۲۵/۹۷	۲۶	آبان
$ET_{o-H} = 1/3634 ET_{o-D} + 0/224$	75/۰۸	.۰/۰۰۰	-۰/۸۵	-۰/۶۷	-۱۷/۵۸	۲۱	آذر
$ET_{o-H} = 1/6103 ET_{o-D} + 0/1384$	66/۵۲	.۰/۰۰۰	-۰/۸۸	-۰/۷۰	-۱۸/۷۲	۲۴	دی
$ET_{o-H} = 1/0.42 ET_{o-D} + 0/511$	80/۸۷	.۰/۰۰۰	-۰/۷۹	-۰/۶۳	-۱۷/۸۷	۲۴	بهمن
$ET_{o-H} = 1/1757 ET_{o-D} + 0/2645$	92/۸۱	.۰/۰۰۰	-۰/۷۵	-۰/۵۹	-۱۷/۱۷	۲۷	اسفند



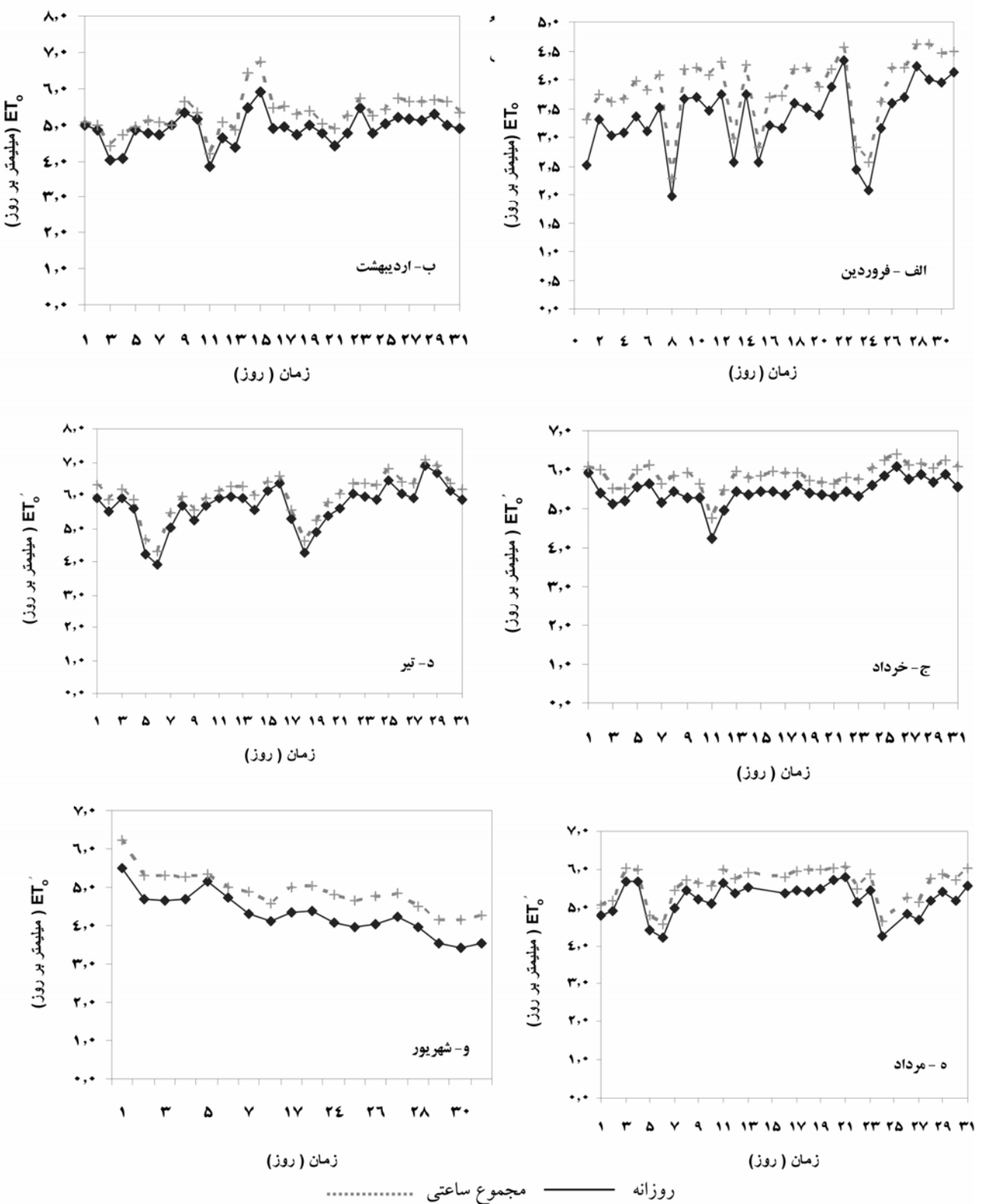
(شکل ۱)- تبخیر تعرق مرجع چمن محاسبه شده با روش پنمن - مونتیث فائو- ۵۶ در بازه زمانی ساعتی در دو روز مختلف



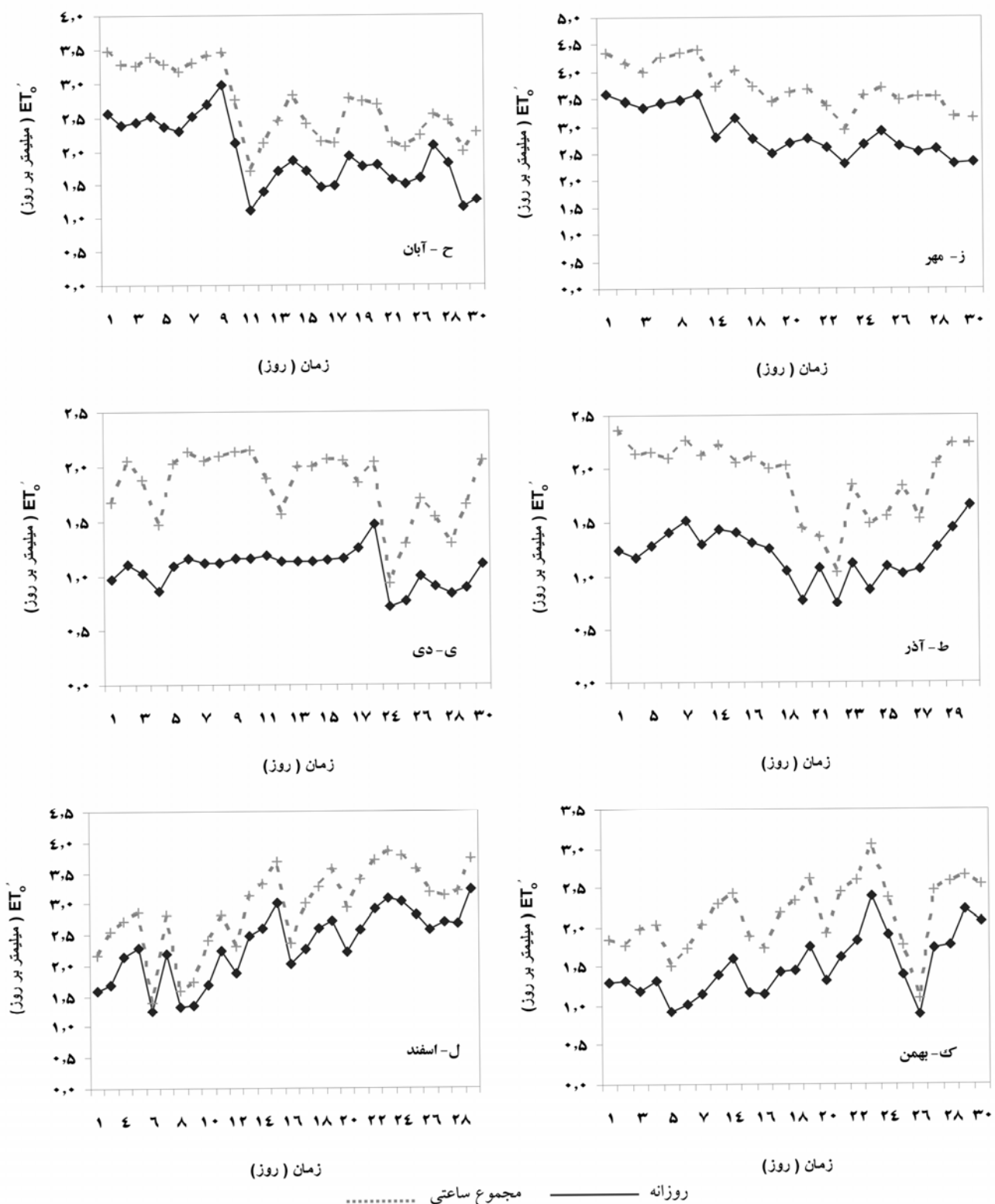
(شکل ۲)- همبستگی بین تبخیر تعرق مرجع چمن محاسبه شده با مدل پنمن - مونتیث فائو- ۵۶ به دو روش روزانه و مجموع ساعتی

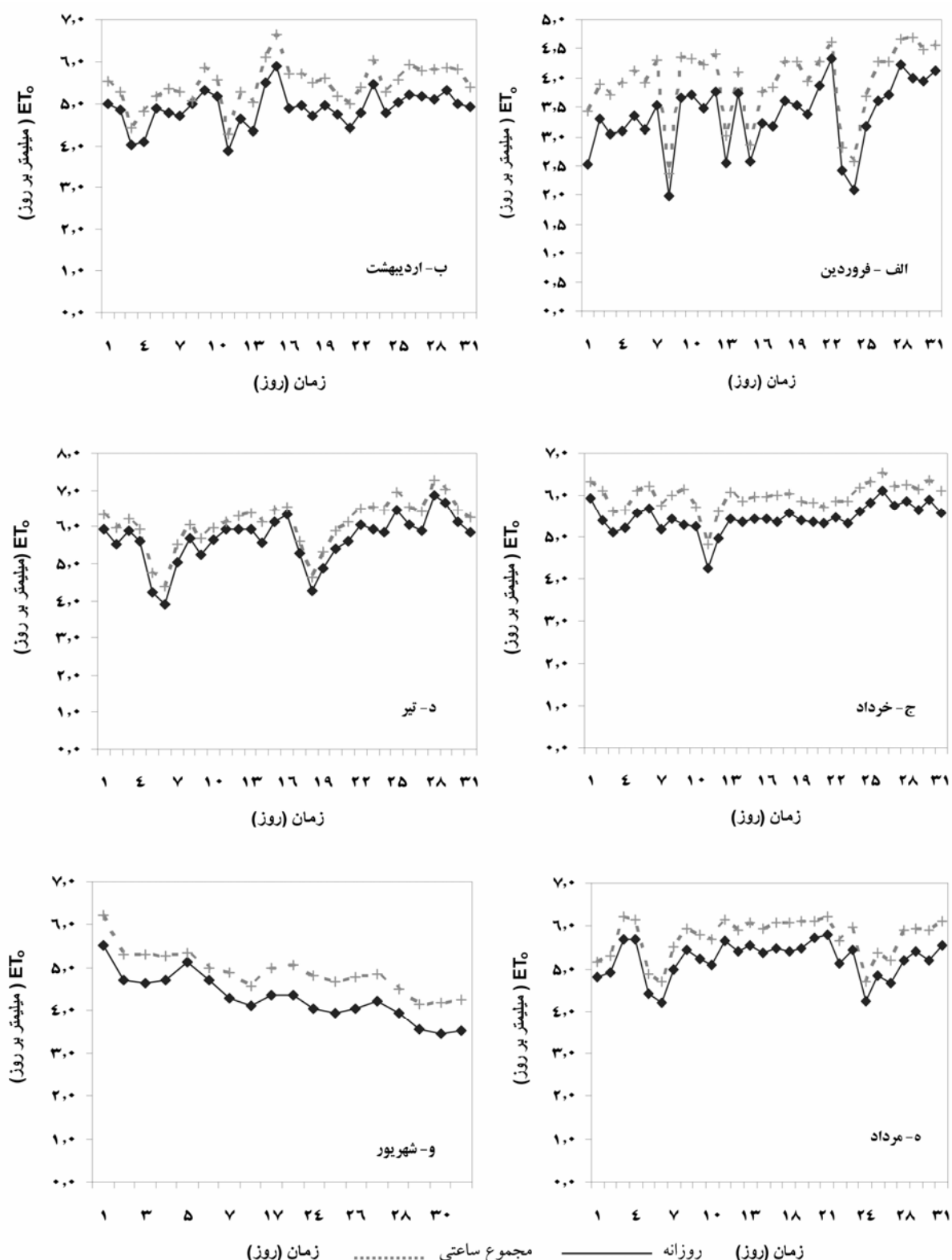


(شکل ۳)- همبستگی بین تبخیر تعرق مرجع چمن محاسبه شده با مدل پنمن - مونتیث ASCE به دو روش روزانه و مجموع ساعتی در دو ماه نمونه

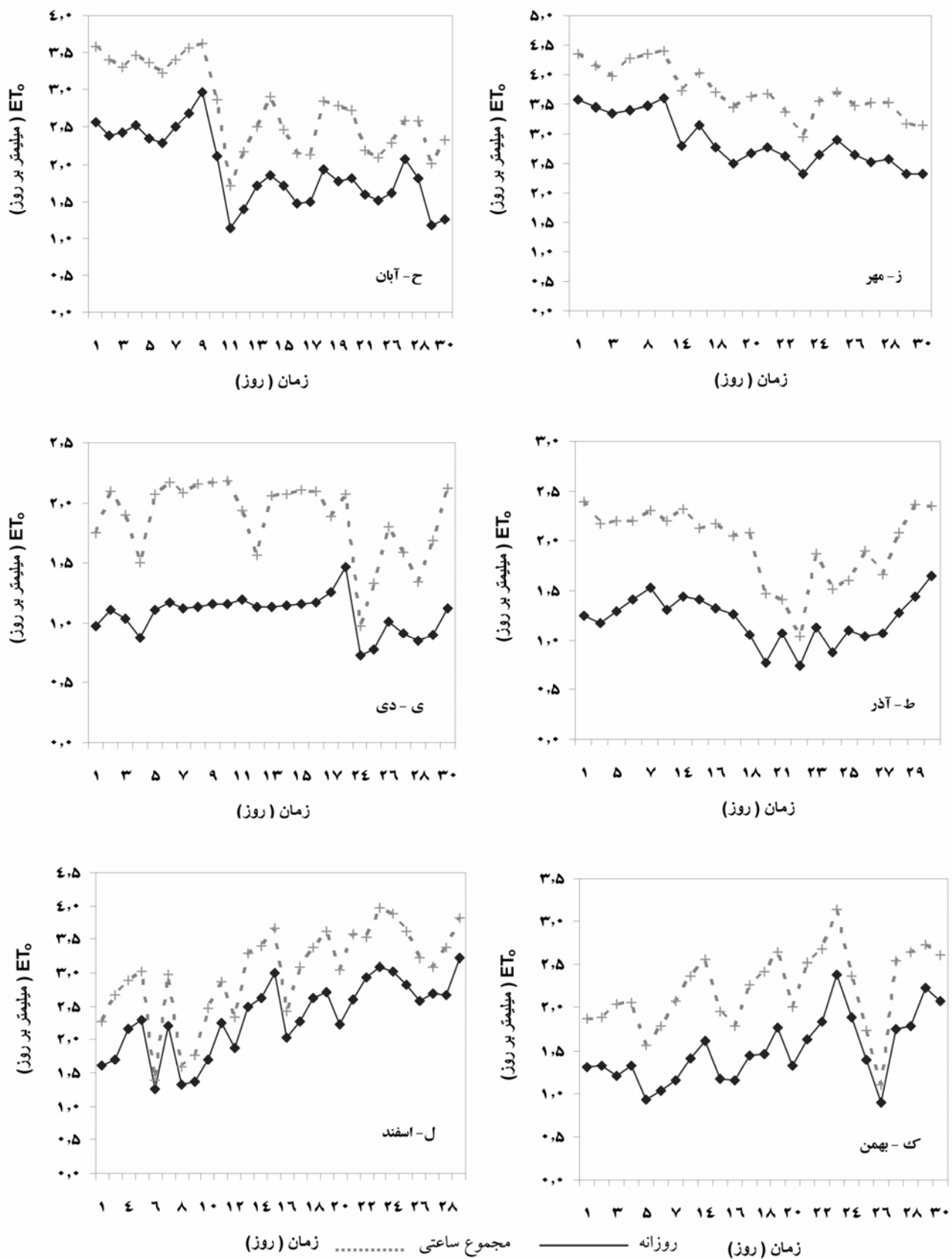


(شکل ۴)- تبخیر تعرق مرجع چمن محاسبه شده توسط معادله پنم- موئیث فاؤن- ۵۶ به دو روش روزانه و مجموع ساعتی طی ماههای فروردین لغایت شهریور سال ۱۳۸۴ در منطقه کرمان





(شکل ۵)- تبخیر تعرق مرجع چمن محاسبه شده توسط معادله پنمن- مونتیث ASCE به دو روش روزانه و مجموع ساعتی طی ماههای فروردین لغایت شهریور سال ۱۳۸۴ در منطقه کرمان



منابع

- 1- Allen, R. G., Raes, L. S. and Smith, M. 1998. Crop Evapotranspiration Guidelines for Computing Crop Water Requirements. FAO Irrigation and Drainage Paper No. 56, FAO, Rome, Italy. 301 p.
- 2- Allen, R. G., Pruitt, W. O., Wright, J. L., Howell, T. A., Ventura, F., Snyder, R., Itenfisu, D., Steduto, P., Berengena, J., Yrisarry, J. B., Smith, M., Pereira, L. S., Raes, D., Perrier, A., Alves, I., Walter, I., and Elliott, R. 2006. A recommendation on standardized surface resistance for hourly calculation of reference ET₀ by the FAO 56 Penman-Monteith method. Agric. Water Manage., (81), 1–22.
- 3- ASCE-EWRI. 2005. The ASCE Standardized Reference Evapotranspiration Equation. Technical Committee report to the Environmental and Water Resources Institute of the American Society of Civil Engineers from the Task Committee on Standardization of Reference Evapotranspiration. ASCE-EWRI, 1801 Alexander Bell Drive, Reston, VA 20191-4400, 173 pp.
- 4- Berengena, J. and Gavilan, P. 2005. Reference evapotranspiration estimation in a highly advective semiarid environment. J. Irrig. and Drain. Engrg., Volume 131, Issue 2, pp. 147-163.
- 5- Doorenbos, J. and Pruitt, W. O. 1977. Guidelines for predicting crop water requirement. FAO irrigation and Drainage, paper No. 24, FAO, Rome, Italy.
- 6- Howell, T. A., Evett, S. R., Schneider, A. D., Dusek, D. A., and Copeland, K. S. 2000. Irrigated fescue grass ET compared with calculated reference grass ET. In: Proceedings of 4th National Irrigation Symposium, ASAE, Phoenix, pp. 228–242.
- 7- Irmak, S., Howell, T. A., Allen, R. G., Payero, J. O., and Martin, D. L. 2005. Standardized ASCE Penman-Monteith: Impact of Sum-of-Hourly Vs. 24- Hour Time step Computations at Reference Weather Station Sites. Transactions of the ASAE. Vol. 48(3): 1063-1077.
- 8- Itenfisu, D., Elliott, R. L., Allen, R. G., and Walter, I. A. 2003. Comparison of reference evapotranspiration calculations as part of the ASCE standardization effect. 129(6): 440-448.
- 9- Jensen, M. E., Burman, R. D. and Allen, R. G. 1990. Evapotranspiration and irrigation water requirements. ASCE Manual and Report on Eng. Prac., No. 70, New York.
- 10- Lopez-Urrea, R., Martin de Santa Olalla, F., Fabeiro, C., and Moratalla, A. 2006. An evaluation of two hourly reference evapotranspiration equations for semiarid conditions Agric. Water Manage., Vol. 86, 277-282.
- 11- Ventura, F., Spano, D., Duce, P., and Snyder, R. L. 1999. An evaluation of common evapotranspiration equations. Irrig. Sci. 18, 163–170.
- 12- Walter, I. A., Allen, R. G., Elliott, R., Jensen, M. E., Itenfisu, D., Mecham, B., Howell, T. A., Snyder, R., Brown, P., Echings, S., Spofford, T., Hattendorf, M., Cuenca, R. H., Wright, J. L., and Martin, D., 2000. In: ASCE's Standardized Reference Evapotranspiration Equation. Proceedings of the 4th National Irrigation Symposium, ASAE, Phoenix, AZ.
- 13- Yildirim, Y. E., Cakmak, B., and Kose, T. 2004. Comparison of hourly and daily reference evapotranspiration Values for GAP project area. J. Applied Sciences, 4(1): 53-57.



Comparison of Daily with Sum-of- Hourly Reference Evapotranspiration in Kerman Reference Weather Station

B. Bakhtiari^{*1} – A. Khalili – A. M. Liaghat – M. J. Khanjani²

Abstract

In recent years, automatic weather stations have been widely used for recording meteorological data in different time scales. Therefore the accurate estimation of ET_o by combination equations can be evaluated using these set of short time scales data. Daily ET_o can also be calculated by summation of hourly ET_o values. The purpose of this study is to compare the ET_o values estimated by hourly and daily data. Totally, 7270 hourly meteorological data obtained from the automated weather reference station where placed in Shahid Bahonar university of Kerman, Iran during April to December 2005 and January to March 2006. The Penman-Monteith equations proposed by the Food and Agriculture Organization (FAO-56) and American Society of Civil Engineers (ASCE) were used for hourly and daily (24 hours) ET_o estimation. The paired t- student test was used for comparison of estimated ET_o values by two methods (daily and hourly summation) in each month. The results of this study showed significant differences between ET_o values estimated by daily and hourly summation data in both equations at 5 percent level. The hourly summation method overestimated ET_o values from 5.8 to 44.6 percent in different months using FAO-56 Penman-Monteith equation and from 7.4 to 47.6 percent using ASCE Penman-Monteith equation. The regression coefficients of correlation equations between the daily and hourly summation method in both combination models were strongly significant.

Keywords: Reference evapotranspiration, Hourly time scale, FAO-56 Penman-Monteith, ASCE Penman-Monteith

1- Ph. D. student of Agricultural meteorology, Assoc. Prof. and Prof. Respectively, University of Tehran, Karaj,Iran. (*- Corresponding author Email: Drba777@yahoo.com)

2- Prof. of Shahid Bahonar University of Kerman, Kerman, Iran.